

Разностные схемы для уравнения конвективной диффузии. Лекция 3

О.С.Мажорова

Сентябрь 2020 г.

Нестационарная задача

$$\frac{\partial Q}{\partial t} + \frac{\partial(uQ)}{\partial x} = D \frac{\partial^2 Q}{\partial x^2}. \quad (1)$$

Пусть $u = \text{const} > 0$; и число Пекле $Pe = \frac{uL}{D} \gg 1$.

В области $\Omega = \{t \geq 0, x \in [-L, L]\}$ введём сетку

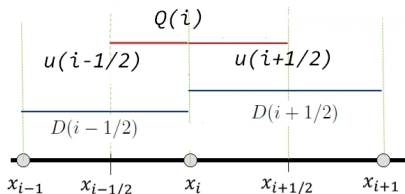
$$\Omega_{\tau h} = \Omega_{\tau} \times \Omega_h, \quad \Omega_{\tau} = \{t_0 = 0, t_{k+1} = t_k + \tau\},$$

$$\Omega_h = \{x_i, i = -N_1, -N_1+1 \dots, N_2-1, N_2, x_{-N_1} = -L, x_{N_2} = L\}$$

с шагами h_i – по пространству и τ – по времени.

Обозначения

Сеточные функции определяются как и раньше: $Q_i = Q(x_i)$,
 $D_{i+\frac{1}{2}} = D(x_{i+\frac{1}{2}})$ $u_{i+\frac{1}{2}} = u(x_{i+\frac{1}{2}})$.



Сеточные производные.

Функция задана в узлах: $Q_x = \frac{Q_{i+1} - Q_i}{h_{i+\frac{1}{2}}}$ и $Q_{\bar{x}} = \frac{Q_i - Q_{i-1}}{h_{i-\frac{1}{2}}}$.

Функция задана в потоковых точках: $Q_{\hat{x}} = \frac{Q_{i+\frac{1}{2}} - Q_{i-\frac{1}{2}}}{\bar{h}_i}$.

Производная по времени: $Q_t = \frac{Q_{k+1} - Q_k}{\tau}$

Построение разностной схемы

Проинтегрируем уравнение (1) по ячейке сетки

$$[t_{k+1}, t_k] \times [x_{i-\frac{1}{2}}, x_{i+\frac{1}{2}}] .$$

$$\begin{aligned} \int_{t_k}^{t_{k+1}} \int_{x_{i-\frac{1}{2}}}^{x_{i+\frac{1}{2}}} \frac{\partial Q}{\partial t} dx dt + \int_{t_k}^{t_{k+1}} \int_{x_{i-\frac{1}{2}}}^{x_{i+\frac{1}{2}}} \frac{\partial}{\partial x} \left[uQ - D_{i+\frac{1}{2}} \frac{\partial Q}{\partial x} \right] dx dt = \\ \int_{t_k}^{t_{k+1}} \frac{\partial}{\partial t} \left[\int_{x_{i-\frac{1}{2}}}^{x_{i+\frac{1}{2}}} Q_i dx \right] dt + \int_{t_k}^{t_{k+1}} \left[W_{i+\frac{1}{2}} - W_{i-\frac{1}{2}} \right] dt \approx \\ \left[Q_i^{k+1} - Q_i^k \right] \hbar_i + \left[W_{i+\frac{1}{2}}^{(\sigma)} - W_{i-\frac{1}{2}}^{(\sigma)} \right] \tau = 0; \end{aligned} \quad (2)$$

Поделив (2) на $\tau \hbar_i$, получим

Схема с весами

$$Q_t + \frac{(uQ)_{i+\frac{1}{2}}^{(\sigma)} - (uQ)_{i-\frac{1}{2}}^{(\sigma)}}{\hbar_i} = DQ_{x\hat{x}}^{(\sigma)} \quad (3)$$

Здесь $Q_t = \frac{Q_i^{k+1} - Q_i^k}{\tau}$; параметр σ определяет аппроксимацию по времени: $Q^{(\sigma)} = \sigma Q^{k+1} + (1 - \sigma)Q^k$, $\hat{Q} = Q^{k+1}$. При вычислении конвективного потока используется та или иная интерполяция искомой функции в потоковую точку.

Найдем решение разностной задачи (3) на отрезке $x \in [-L, L]$ с начальными условиями

$$Q_0(x) = \begin{cases} 1, & x \leq 0 \\ 0, & x > 0 \end{cases} \quad (4)$$

В точках $x=-L$ и $x=L$ зададим соответствующие значения точного решения задачи (1) на прямой с начальными данными (4)

Решение модельной задачи.

$$\frac{\partial Q}{\partial t} + \frac{\partial(uQ)}{\partial x} = D \frac{\partial^2 Q}{\partial x^2}. \quad (5)$$

Сделаем замену переменных:

$$s = t; \quad y = x - ut \quad Q(x, t) = Q(y(x, t), s(t))$$

$$\frac{\partial Q}{\partial t} = \frac{\partial Q}{\partial s} \frac{\partial s}{\partial t} + \frac{\partial Q}{\partial y} \frac{\partial y}{\partial t} = \frac{\partial Q}{\partial s} - u \frac{\partial Q}{\partial y}; \quad \frac{\partial Q}{\partial x} = \frac{\partial Q}{\partial y} \Rightarrow \frac{\partial Q}{\partial s} = D \frac{\partial^2 Q}{\partial y^2}$$

Решение – интеграл Пуассона:

$$Q = \frac{1}{\sqrt{\pi}} \left[\frac{\sqrt{\pi}}{2} - \int_0^{\frac{y}{2\sqrt{Ds}}} e^{-z^2} dz \right] = \frac{1}{\sqrt{\pi}} \left[\frac{\sqrt{\pi}}{2} - \int_0^{\frac{x-ut}{2\sqrt{Dt}}} e^{-z^2} dz \right] \quad (6)$$

Задача. Проверить, что (6) удовлетворяет уравнению (5)

Решение разностной задачи. Направленные разности $P_h = 25$

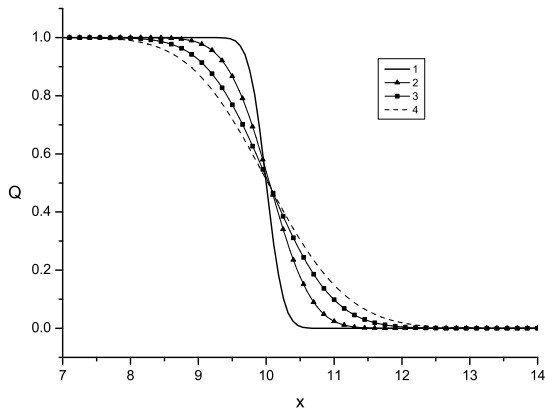


Рис.: Результаты расчетов по схеме с направленными разностями 1 – точное решение, 2 – $\sigma = 0$, 3 – $\sigma = 0.5$, 4 – $\sigma = 1$.

Решение разностной задачи. Центральные разности $P_h = 25$

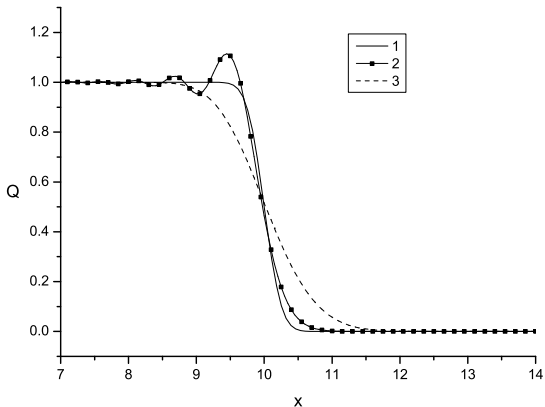


Рис.: Результаты расчетов по схеме с центральными разностями 1 – точное решение, 2 – $\sigma = 0.5$, 3 – $\sigma = 1$.

Диффузия и дисперсия

$$\frac{\partial Q}{\partial t} + u \frac{\partial Q}{\partial x} = D \frac{\partial^2 Q}{\partial x^2} + \beta \frac{\partial^3 Q}{\partial x^3} + \gamma \frac{\partial^4 Q}{\partial x^4}$$
$$Q(t, x) = e^{-p(m)t} e^{im[x - q(m)t]}, \quad (7)$$

где m – волновое число, $p(m)$ – скорость затухания амплитуды, $q(m)$ – скорость распространения волны, $i^2 = -1$.

$$p(m) = Dm^2 - \gamma m^4, \quad q(m) = u + m^2\beta \quad (8)$$

Скорость убывания амплитуды определяется длиной волны ($T = \frac{2\pi}{m}$). Появилась зависимость скорости движения от длины волны – это дисперсия.

Метод дифференциального приближения

Пусть $\mathcal{L}(Q) = 0$ – дифференциальное уравнение, а $\mathcal{L}_h^\tau(Q) = 0$ – его разностная аппроксимация. Оператор $\mathcal{L}_h^\tau(Q) = 0$ рассматривается на том же классе функций, что и исходное дифференциальное уравнение. Используя разложение в ряд Тейлора, уравнение $\mathcal{L}_h^\tau(Q) = 0$ можно записать в виде

$$\mathcal{L}_h^\tau(Q) = \mathcal{L}(Q) + \mathcal{E}(Q, \tau, h) = 0, \quad (9)$$

где $\mathcal{E}(Q, \tau, h)$ – погрешность аппроксимации.

Соотношение (9) преобразуется так, чтобы в $\mathcal{E}(Q, \tau, h)$ содержались только пространственные производные. Производные по t и смешанные производные по времени и пространству исключаются с помощью самого уравнения (9), продифференцированного необходимое число раз. Полученное дифференциальное уравнение с бесконечным числом членов называется дифференциальным представлением разностной схемы.

$$\mathcal{L}_h^\tau(Q) = \mathcal{L}(Q) + \sum_{l=n}^{\infty} a_l \frac{\partial^l Q}{\partial x^l} = 0 \quad (10)$$

n – порядок исходного дифференциального уравнения.

Дифференциальное приближение для схемы с направленными разностями

Дифференциальное приближение получается, если в $\mathcal{E}(Q, \tau, h)$ сохранить только конечное число членов.

Построим дифференциальное приближение для схемы

$$Q_t + uQ_{\bar{x}}^{(\sigma)} - DQ_{\bar{x}x}^{(\sigma)} = 0 \quad (11)$$

С помощью $Q^{(\sigma)} = Q^{(0.5)} + (\sigma - 0.5)\tau Q_t$, перепишем (11) в виде

$$Q_t + uQ_{\bar{x}}^{(0.5)} - DQ_{\bar{x}x}^{(0.5)} + u(\sigma - 0.5)\tau Q_{t\bar{x}} - D(\sigma - 0.5)\tau Q_{t\bar{x}x} = 0. \quad (12)$$

Используя разложение функции Q в ряд Тейлора в окрестности точки $(t_k + \tau/2, x_i)$, получим представление для разностных операторов, входящих в (12). Например,

$$\begin{aligned} Q_t &= \frac{\partial \bar{Q}}{\partial t} + \frac{\tau^2}{24} \frac{\partial^3 \bar{Q}}{\partial t^3} + \dots \\ Q^{(0.5)} &= \bar{Q} + \frac{\tau^2}{8} \frac{\partial^2 \bar{Q}}{\partial t^2} + \dots \\ Q_{\bar{x}}^{(0.5)} &= \frac{\partial \bar{Q}}{\partial x} - \frac{h}{2} \frac{\partial^2 \bar{Q}}{\partial x^2} + \frac{h^2}{6} \frac{\partial^3 \bar{Q}}{\partial x^3} + \frac{\tau^2}{8} \frac{\partial^3 \bar{Q}}{\partial t^2 \partial x} + \dots \text{ и т.д.} \end{aligned} \quad (13)$$

Здесь $\bar{Q} = Q(t_k + \tau/2, x_i)$. Подставим (13) и аналогичные выражения для $Q_{t\bar{x}}$ и $Q_{\bar{x}x}$ в (12):

$$\begin{aligned} \frac{\partial \bar{Q}}{\partial t} + u \frac{\partial \bar{Q}}{\partial x} - D \frac{\partial^2 \bar{Q}}{\partial x^2} - \frac{uh}{2} \frac{\partial^2 \bar{Q}}{\partial x^2} + u(\sigma - 0.5)\tau \frac{\partial^2 \bar{Q}}{\partial t \partial x} + \frac{uh^2}{6} \frac{\partial^3 \bar{Q}}{\partial x^3} \\ + \frac{\tau^2}{24} \frac{\partial^3 \bar{Q}}{\partial t^3} - (\sigma - 0.5) \left(u \frac{\tau h}{2} + D\tau \right) \frac{\partial^3 \bar{Q}}{\partial t \partial x^2} + \frac{u\tau^2}{8} \frac{\partial^3 \bar{Q}}{\partial t^2 \partial x} + \dots = 0 \end{aligned} \quad (14)$$

Исключим $u(\sigma - 0.5)\tau \frac{\partial^2 \bar{Q}}{\partial t \partial x}$ из (14). Для этого подействуем оператором $-u(\sigma - 0.5)\tau \frac{\partial}{\partial x}$ на уравнение (14) и найденное уравнение прибавим к (14). В результате получим

$$\begin{aligned} \frac{\partial \bar{Q}}{\partial t} + u \frac{\partial \bar{Q}}{\partial x} - D \frac{\partial^2 \bar{Q}}{\partial x^2} - \left(\frac{uh}{2} + u^2\tau(\sigma - 0.5) \right) \frac{\partial^2 \bar{Q}}{\partial x^2} + \\ \left(\frac{uh^2}{6} + u^2 \frac{\tau h}{2} (\sigma - 0.5) + uD\tau(\sigma - 0.5) \right) \frac{\partial^3 \bar{Q}}{\partial x^3} + \frac{\tau^2}{24} \frac{\partial^3 \bar{Q}}{\partial t^3} \\ - (\sigma - 0.5) \left(u \frac{\tau h}{2} + u^2\tau^2(\sigma - 0.5) + D\tau \right) \frac{\partial^3 \bar{Q}}{\partial t \partial x^2} + \frac{u\tau^2}{8} \frac{\partial^3 \bar{Q}}{\partial t^2 \partial x} + \dots = 0 \end{aligned} \quad (15)$$

Аналогично исключим член $\frac{\tau^2}{24} \frac{\partial^3 \bar{Q}}{\partial t^3}$, подействовав на (15) оператором $-\frac{\tau^2}{24} \frac{\partial^2}{\partial t^2}$ и сложив полученное уравнение с (15).

$$\begin{aligned} & \frac{\partial \bar{Q}}{\partial t} + u \frac{\partial \bar{Q}}{\partial x} - D \frac{\partial^2 \bar{Q}}{\partial x^2} - \left(\frac{uh}{2} + u^2 \tau (\sigma - 0.5) \right) \frac{\partial^2 \bar{Q}}{\partial x^2} + \\ & \left(\frac{uh^2}{6} + u^2 \frac{\tau h}{2} (\sigma - 0.5) + u D \tau (\sigma - 0.5) \right) \frac{\partial^3 \bar{Q}}{\partial x^3} \\ & - (\sigma - 0.5) \left(u \frac{\tau h}{2} + u^2 \tau^2 (\sigma - 0.5) + D \tau \right) \frac{\partial^3 \bar{Q}}{\partial t \partial x^2} + \frac{u \tau^2}{12} \frac{\partial^3 \bar{Q}}{\partial t^2 \partial x} + \dots = 0 \end{aligned} \quad (16)$$

Смешанные производные исключаются с помощью равенств:

$$\begin{aligned}\frac{\partial^3 \bar{Q}}{\partial t \partial x^2} + u \frac{\partial^3 \bar{Q}}{\partial x^3} + \dots &= 0 \\ \frac{\partial^3 \bar{Q}}{\partial t^2 \partial x} - u^2 \frac{\partial^3 \bar{Q}}{\partial x^3} + \dots &= 0,\end{aligned}$$

Отбросим производные порядка выше третьего. Оставшееся уравнение – это дифференциальное приближение схемы с направленными разностями.

$$\frac{\partial \bar{Q}}{\partial t} + u \frac{\partial \bar{Q}}{\partial x} - D \frac{\partial^2 \bar{Q}}{\partial x^2} - \underbrace{uh\eta_2(C) \frac{\partial^2 \bar{Q}}{\partial x^2} + uh^2\eta_3(C, S) \frac{\partial^3 \bar{Q}}{\partial x^3}}_{\text{старшие члены в погрешности аппроксимации}} = 0.$$

$C = \frac{u\tau}{h}$ – число Куранта; $S = \frac{D\tau}{h^2}$ – диффузионное число Куранта.

$$\begin{aligned}\eta_2 &= \eta_2^{WFOU} = \frac{1}{2} + C(\sigma - 0.5) \\ \eta_3 &= \eta_3^{WFOU} = \frac{1}{6} + \frac{C^2}{12} + (\sigma - 0.5)(C + C^2(\sigma - 0.5) + 2S)\end{aligned}\tag{17}$$

Скорость убывания амплитуды – схемная диффузия:

$p(m) = Dm^2(1 + P_h\eta_2)$ зависит от P_h .

Скорость бегущей волны – схемная дисперсия:

$q(m) = u(1 - h^2m^2\eta_3)$ зависит от волнового числа.

Дифференциальное приближение и устойчивость разностных схем

Амплитуда бегущей волны убывает, если

$$p(m) = Dm^2(1 + P_h \eta_2) > 0 \quad \text{где} \quad \eta_2 = \frac{1}{2} + C(\sigma - 0.5) \quad (18)$$

Для явной схемы это означает, что для устойчивости необходимо выполнение неравенства

$$2S + C - C^2 > 0. \quad (19)$$

((19) получается после умножения (18) на $\frac{\tau}{h^2}$.)

Дальше мы сравним условие (19) с тем, что получится с помощью метода Неймана.

Дифференциальное приближение для схемы с центральными разностями

$$Q_t + uQ_{\circ_x}^{(\sigma)} - DQ_{\bar{x}\bar{x}}^{(\sigma)} = 0.$$

Дифференциальное приближение с точностью до $O(h^4)$:

$$\underbrace{\frac{\partial \bar{Q}}{\partial t} + u \frac{\partial \bar{Q}}{\partial x} - D \frac{\partial^2 \bar{Q}}{\partial x^2} - uh\eta_2^{WCD}(\mathcal{C}) \frac{\partial^2 \bar{Q}}{\partial x^2}}_{\text{диффузия}} + \underbrace{uh^2\eta_3^{WCD}(\mathcal{C}, \mathcal{S}) \frac{\partial^3 \bar{Q}}{\partial x^3}}_{\text{дисперсия}} + \underbrace{uh^3\eta_4^{WCD}(\mathcal{C}, \mathcal{S}) \frac{\partial^4 \bar{Q}}{\partial x^4}}_{\text{антидиффузия}} = 0.$$

$$\eta_2^{WCD} = \mathcal{C}(\sigma - 0.5), \quad \eta_3^{WCD} = \frac{1}{6} + \frac{\mathcal{C}^2}{12} + (\sigma - 0.5)(\mathcal{C}^2(\sigma - 0.5) + 2\mathcal{S})$$

$$\eta_4^{CN} = - \left(\frac{1}{4}\mathcal{C}\mathcal{S} + \frac{1}{12}\frac{\mathcal{S}}{\mathcal{C}} \right) \quad \text{для } \sigma = 0.5.$$

Для бегущей волны

$$p(m) = Dm^2(1 + P_h\eta_2^{WCD} + P_h h^2 m^2 \eta_4^{WCD}).$$

Четвертая производная оказывает дополнительное сглаживающее влияние на решение, если $\eta_4^{WCD} > 0$. В схеме Кранка-Николсона $\eta_4^{CN} < 0$.

Влияние схемной дисперсии и диффузии (антидиффузии) на качество решения видно на рисунке

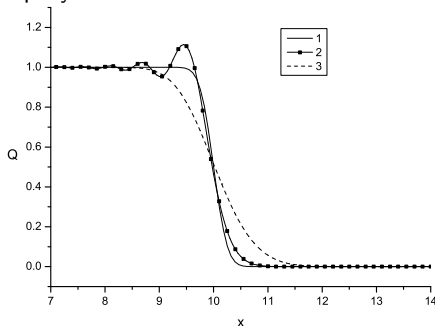


Рис.: Результаты расчетов по схеме с центральными разностями 1 – точное решение, 2 – $\sigma = 0.5$, 3 – $\sigma = 1$.

Схема с искусственной дисперсией

$$Q_t + uQ_{\circ_x}^{(0.5)} - DQ_{x\bar{x}}^{(0.5)} - h^2 u \eta_3^{ATD} [\kappa Q_{x\bar{x}x}^{(0.5)} + (1 - \kappa) Q_{\bar{x}x\bar{x}}^{(0.5)}] = 0$$

$$C_{x\bar{x}x} = \frac{C_{i+2} - 3C_{i+1} + 3C_i - C_{i-1}}{h^3}$$

$$C_{\bar{x}x\bar{x}} = \frac{C_{i+1} - 3C_i + 3C_{i-1} - C_{i-2}}{h^3}$$

Аппроксимация третьей производной:

$\kappa = 0.5$ – симметричная,

$\kappa = 0$ – третья разность назад;

$\kappa = 1$ – третья разность вперед.

Пусть $\eta_3^{ATD} = \frac{1}{6} + \frac{C^2}{12}$, тогда $\eta_3^{NEW} = 0$, $\eta_4^{NEW} = \eta_4^{CN} + \frac{\eta_3^{CN}}{2}(1 - 2\kappa)$.

Задача Показать, что при $u > 0$ и $\kappa = 0$

$$\eta_4^{NEW} = \left[\frac{1}{3} \left(1 - \frac{S}{C} \right) + C^2 \left(\frac{1}{6} - \frac{S}{C} \right) \right] \frac{1}{4}. \quad \left(P_h = \frac{C}{S} \right)$$

Схема с искусственной дисперсией. Примеры расчетов

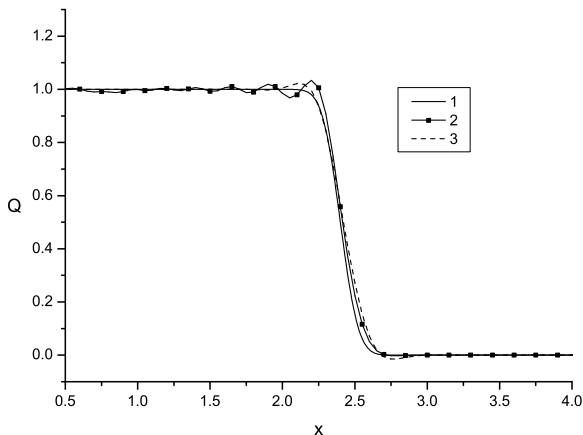


Рис.: Результаты расчетов по схеме с искусственной дисперсией 1 – точное решение, 2 – $\kappa = 0.5$, 3 – $\kappa = 0$. $t = 0.24$

Схема с искусственной дисперсией. Примеры расчетов

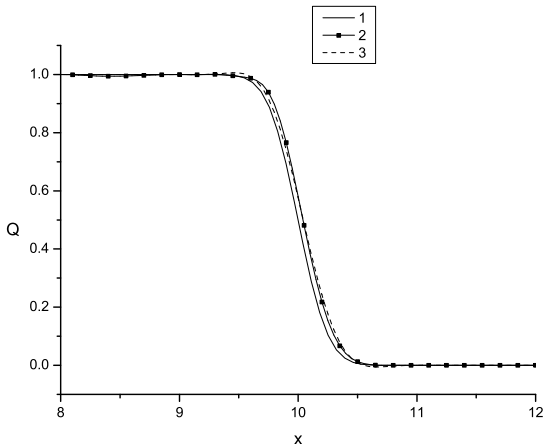


Рис.: Результаты расчетов по схеме с искусственной дисперсией 1 – точное решение, 2 – $\kappa = 0.5$, 3 – $\kappa = 0$. $t = 1$.